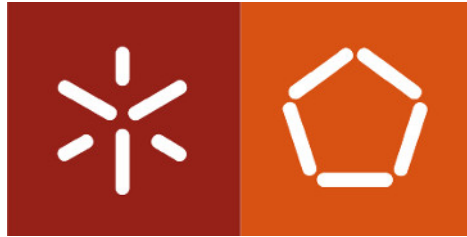


Projeto Final

Leander Reascos
A89154

Tiago Pereira
A85893

Dezembro 2020



-Microcontroladores e Interfaces-

Docente:

· Paulo Mendes

Índice

1	Introdução ao Projeto	1
1.1	Aplicações	1
1.2	Montagem do Circuito	1
2	Programação do Microcontrolador	2
2.1	Amostragem	3
2.2	Comunicação	5
2.2.1	Definição do <i>CHAR</i>	5
2.2.2	<i>Baud Rate</i>	5
2.3	Configurações do Microcontrolador	6
3	Processamento de Dados	8
3.1	Processamento Digital do Sinal	8
3.1.1	Low Pass Filter	9
3.1.2	Redução do Ruído Branco	10
3.1.3	Integração por Média Móvel	10
3.2	Aplicações	11
3.2.1	Aceleração em <i>Tempo Real</i>	11
3.2.2	Controlo por Orientação	11
3.2.3	<i>Tracker</i> de posição	13
4	Conclusão	14
5	Bibliografia	15
	Anexo A - Formatação do CHAR	I
	Anexo B - Código dos Handlers das Interrupções	II
	Anexo C - Código das Funções	III

1 Introdução ao Projeto

Nos dias de hoje, a automação de sistemas implica o controlo e monitorização de variáveis que estão em constante mudança. Essas mudanças físicas são detetadas através da utilização de sensores que as traduzem em sinais elétricos. Estes sinais de natureza usualmente analógica requerem um tratamento para poderem ser lidos e posteriormente processados. As unidades que processam estes sinais não necessitam de um grande poder de processamento, pelo que, são geralmente utilizados microcontroladores que recebem informação dos sensores e as enviam para unidades com poder de processamento mais elevado.

No projeto em questão, o sensor trata-se de um acelerómetro, o qual traduz em três sinais analógicos distintos as acelerações nos três eixos espaciais que atuam no dispositivo. Este sensor é ligado a um microcontrolador PIC18F47Q10 que trata da multiplexagem dos sinais analógicos para conversão por um ADC e, posteriormente, formata as informações convertidas e as envia de acordo com o protocolo de comunicação série definido para um computador, que processa esta informação de acordo com a aplicação desejada.

1.1 Aplicações

Com base no sensor disponível, existiam algumas aplicações que poderiam ser adotadas, tais como o *tracking* da posição, deteção de picos aceleração, deteção de orientação, etc. O objetivo principal do projeto foi o *tracking* da posição do acelerómetro, tendo sido também desenvolvidas aplicações focadas na deteção da aceleração e orientação do microcontrolador.

1.2 Montagem do Circuito

Para assegurar a comunicação entre todos os módulos do sistema, foi necessário conecta-los fisicamente, uma vez que, não se utilizam módulos para comunicação sem-fios. Com isto, foi necessário assegurar a alimentação de todos os componentes, bem como ligação de cada *output* analógico do acelerómetro ao microcontrolador e a ligação deste último ao computador para comunicação serial, como exposto na figura 1.

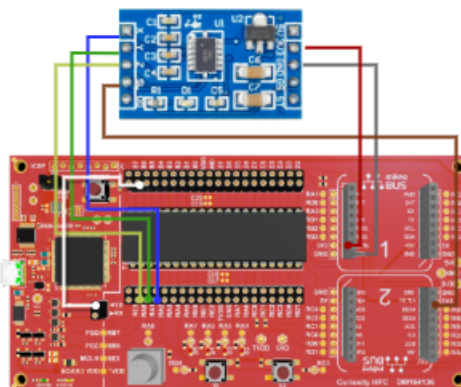


Fig. 1: Esquema de montagem do microcontrolador e acelerómetro.

De um ponto de vista da comunicação entre módulos, o microcontrolador é um elemento fulcral tendo em conta que estabelece a "ponte" de comunicação entre o sensor e o computador (figura 2).

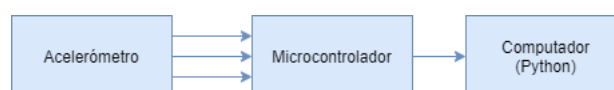


Fig. 2: Diagrama de blocos do sistema.

2 Programação do Microcontrolador

O microcontrolador sendo uma ponte de comunicação entre sensor e computador tem de ser cuidadosamente programado para exercer as suas funções. Assim, o modo de funcionamento deste pode ser decomposto em três partes:

- Conversão dos valores analógicos do acelerómetro.
- Multiplexagem entre eixos do acelerómetro.
- Formatação e envio dos Chars com informação para o computador.

De um modo geral, o seu funcionamento pode ser descrito pelo fluxograma da figura 3.

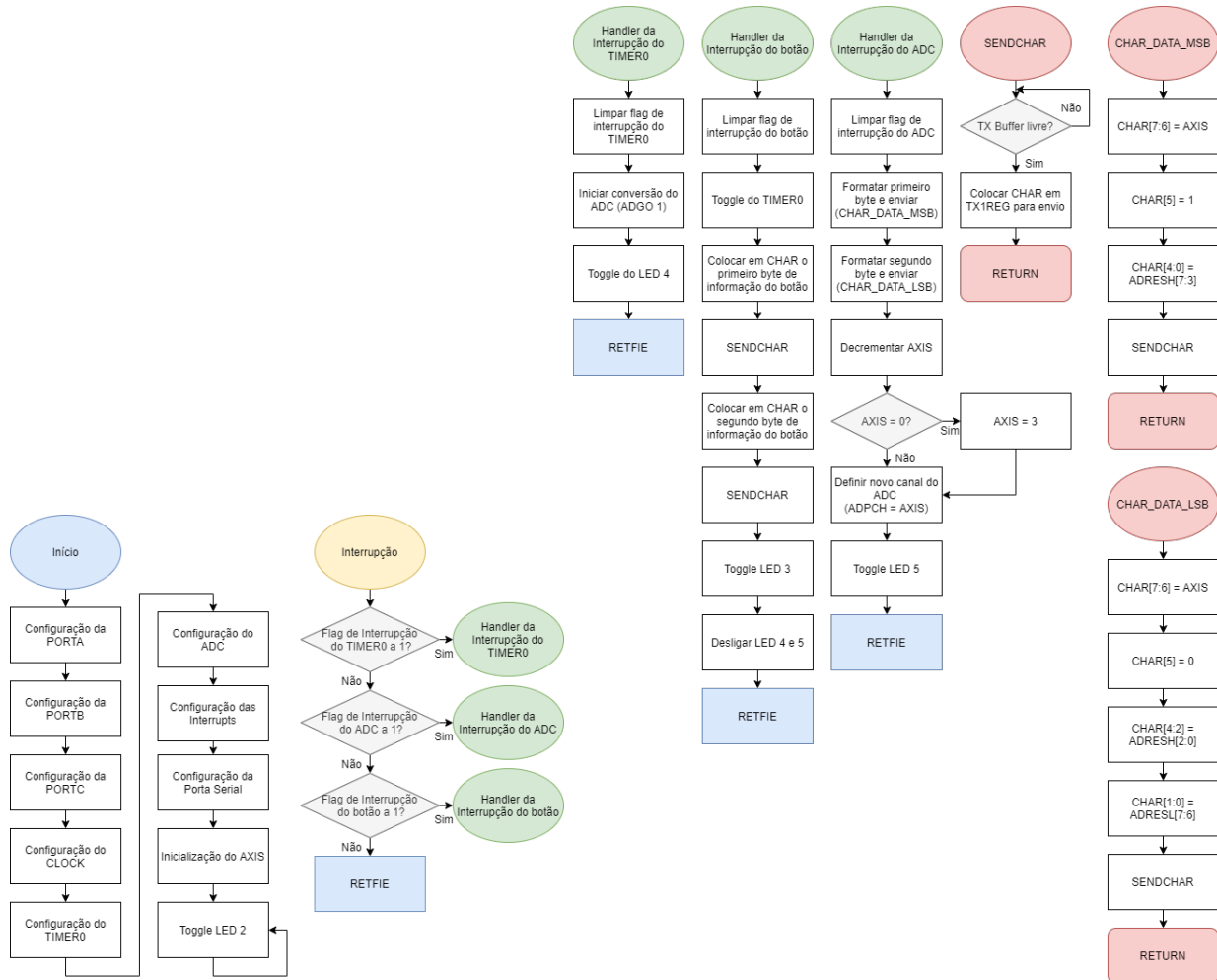


Fig. 3: Fluxograma do programa do microcontrolador.

2.1 Amostragem

De forma a termos o nosso sistema com os tempos de conversão, amostragem, comunicação e representação, sem que haja problemas como aliasing e garantir que a informação representada posteriormente pela aplicação desejada não apresente nenhum tipo de perdas significativas, fez-se a análise dos sinais.

O computador nas diferentes aplicações desenvolvidas tem duas frequências para representar os dados obtidos, isto é 20fps e 60fps. Outro dado a ter em conta são os tipos de movimentos de interesse, estes movimentos são executados por um utilizador que é incapaz de produzir sinais de frequência elevada, logo podemos limitar a largura de banda do nosso sistema a 10 Hz. Assim, a frequência de Nyquist seria:

$$f_{\text{Nyquist}} = 20 \text{ Hz} \quad (1)$$

A representação gráfica do sinal pode ser interpretada como uma decimação do sinal, pois como se garante que não há perdas significativas ou nenhuma perda na receção e tratamento dos dados pelo computador, a representação seria uma nova amostragem das sequências previamente amostradas. Desta forma, precisou-se ter em atenção a frequência à qual o sinal analógico é amostrado inicialmente.

Como para a representação gráfica do sinal a 60 fps vai ocorrer uma redução da frequência máxima de amostragem de pelo menos 2 vezes, ou seja, decimar o sinal por um fator mínimo de 2, temos um possível valor para a frequência de amostragem do sinal.

$$f_{\text{amostragem}} = 120 \text{ Hz} \quad (2)$$

Esta frequência é 6 vezes superior à frequência de Nyquist e garante também que a decimação feita a 20 Hz seja feita de forma a não apresentar aliasing em relação à gama de frequências definidas, pois a redução de 120 Hz para 20 Hz implica que a frequência máxima do sinal seja de $f_{\text{amostragem}}/6$, ou seja, 20 Hz que é a f_{Nyquist} .

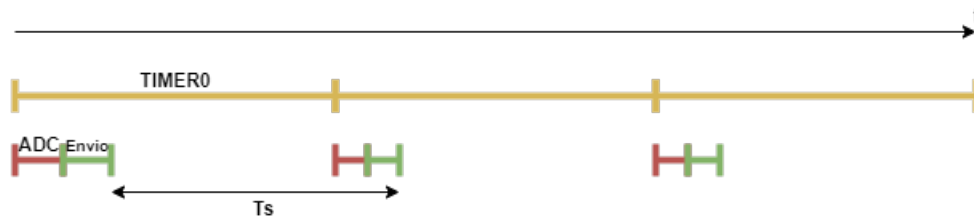


Fig. 4: Esquema temporal dos processos do ADC, não à escala. Repare-se que $T_s = \text{TIMER0}$.

Para se obter esta frequência de amostragem desejada, é preciso configurar o Timer do microcontrolador, pois é este quem define o tempo no qual os sinais são convertidos (figura 4). Os 3 sinais são convertidos ciclicamente, portanto a frequência de amostragem terá de ser 3 vezes superior.

$$f_{\text{TimerInterrupt}} = 3 \times f_{\text{amostragem}} = 360 \text{ Hz} \quad (3)$$

Como existe uma interrupção do timer a cada 2 ciclos deste (contagem de 0 a 1), a frequência do timer terá de ser 2 vezes superior à frequência da interrupção.

$$f_{\text{Timer}} = 2 \times f_{\text{TimerInterrupt}} = 720 \text{ Hz} \quad (4)$$

A amostragem dos valores de tensão provenientes do acelerómetro é levada a cabo pelo ADC conectado ao microcontrolador. De forma à amostragem se assemelhar a uma amostragem feita por trem de impulsos, ou seja, uma amostragem ideal, a frequência do ADC tem de ter um valor para o

qual o seu tempo de conversão possa ser desprezado na análise, para este caso em concreto, foi procurado um tempo de conversão de 0.15% do tempo de amostragem. Este ADC tem as suas limitações, pelo que, é necessária a sua configuração de forma a manter a fiabilidade das conversões efetuadas. Como tal, definiu-se um *clock* do ADC que respeitasse os tempos de conversão mínimos requeridos para um resultado de 10 bits.

Dadas as limitações do Hardware para ser configurado a valores precisos, mas de forma a garantir a análise feita, as frequências finais são as seguintes:

$$\begin{aligned} f_{\text{Timer}} &= 781.25 \text{ Hz} \\ f_{\text{TimerInterrupt}} &= 390.63 \text{ Hz} \\ f_{\text{Amostragem}} &= 130.20 \text{ Hz} \\ f_{\text{ADC}} &= 250 \text{ KHz} \end{aligned}$$

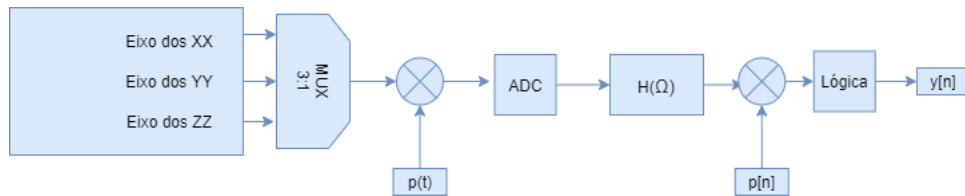


Fig. 5: Esquema do sistema que permite a amostragem do sinal e posterior filtragem e processamento usado como modelo para o cálculo das frequências de funcionamento.

2.2 Comunicação

Para a comunicação entre o microcontrolador e o computador, foi utilizado o *USART* no qual foi necessário configurar vários aspetos de forma a se garantir os requisitos necessários para um envio de informação eficiente que permitisse o funcionamento fiável do programa.

2.2.1 Definição do *CHAR*

Um dos aspetos a definir foi a informação contida em cada *char* enviado desde microcontrolador. Uma vez que cada *char* é uma palavra de 8 bits e no total existem 10 bits que correspondem à conversão efetuada pelo ADC, a informação respeitante a cada amostra não pode ser enviada de uma vez só. Para além do mais, cada amostra pode pertencer a três eixos distintos e é necessário distingui-los. Face a estes problemas optou-se pela formatação do *char* dividindo os 8 bits em três partes distintas, como ilustrado na figura 6.

CHAR

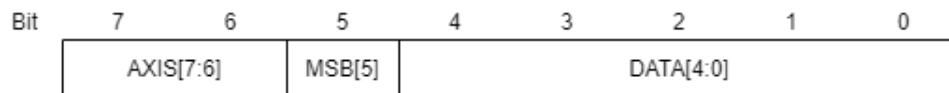


Fig. 6: Organização dos bits em cada *char*

Assim, cada secção do *char* contém informações distintas (ver Anexo A):

- **AXIS:** indica se o *char* contém informação acerca do eixo xx, yy, zz ou sobre o acionamento dos botões.
- **MSB:** indica se o *char* contém os bits mais significativos ou menos significativos da data.
- **DATA:** são os bits de *data* do *char*.

Com isto, a cada 2 *char* enviados obtém-se a informação referente a uma amostra realizada para ser posteriormente processada sem ambiguidades.

2.2.2 Baud Rate

Como visto na figura 3, a cada conversão do ADC são enviados os caracteres ao computador, isto é, 16 bits no total por cada conversão. Como também foi visto na análise da amostragem, a frequência de amostragem e por consequência a frequência a que se enviam os valores é dada pela $f_{\text{TimerInterrupt}} = 390.63 \text{ Hz}$, ou seja, a cada $t_{\text{envio}} = 2.56 \text{ ms}$ são enviados 16 bits. De forma a garantir que não há perdas nem sobrecarga da porta série o baudrate mínimo será dado por:

$$\text{baudrate} = 16 \times f_{\text{TimerInterrupt}} = 6250 \text{ bps} \quad (5)$$

De forma a obter-se 0% de erros na comunicação, como é dado no datasheet, o baudrate para o relógio do microcontrolador a 8 MHz é 10417, que é superior ao baudrate mínimo necessário para não existir problemas na comunicação.

2.3 Configurações do Microcontrolador

Face aos aspetos discutidos, configurou-se o microcontrolador de tal forma a respeitar todas as condições para o seu bom funcionamento. Nas tabelas 1 à 8 encontram-se expostos os parâmetros de configuração necessários referentes aos blocos de configuração no fluxograma da figura 3.

Registo	Valor	Configuração
LATA	0b00000000	Limpar valores guardados na <i>Latch A</i>
TRISA	0b00001111	Definir RA[0:3] como inputs
ANSELA	0b00001111	Definir RA[0:3] como portas analógicas

Tabela 1: Configurações da PORTA.

Registo	Valor	Configuração
LATB	0b00000000	Limpar valores guardados na <i>Latch B</i>
TRISB	0b00010000	Definir RB[4] como input
ANSELB	0b00000000	Definir toda a PORTB como portas digitais
RB6PPS	0bxxx01001	Definir como output do pino RB6 o EUSART1 (TX/CK)
INT0PPS	0bxxx01100	Definir RB4 como input do Peripheral Interrupt 0

Tabela 2: Configurações da PORTB.

Registo	Valor	Configuração
LATC	0b00000000	Limpar valores guardados na <i>Latch C</i>
TRISC	0b00100000	Definir RC5 como input
ANSELB	0b00000000	Definir toda a PORTC como portas digitais
INT1PPS	0bxxx10101	Definir RC5 como input do Peripheral Interrupt 1

Tabela 3: Configurações da PORTC.

Registo	Valor	Configuração
OSCFRQ	0b00000011	Selecionar 8MHz para HFINTOSC
OSCCON1	0bx1100000	Definir HFINTOSC como novo oscilador com uma divisão do CLOCK de 1
OSCEN	0b010000xx	Habilitar o HFINTOSC com as configurações já definidas

Tabela 4: Configurações do CLOCK.

Registo	Valor	Configuração
T0CON0	0b0x000100	Timer0 desligado, timer de 8 bits e postscaler 1:5
T0CON1	0b01101011	HFINTOSC como source, TMR0 sincronizado com FOSC/4, prescaler 1:2048
TMR0L	0b00000000	Limpar o contador do timer de 8 bits
TMR0H	0b00000001	Definir o valor de comparação do timer de 8 bits como 1.

Tabela 5: Configurações do TIMER0.

Registo	Valor	Configuração
ADPCH	0b00000011	Definir RA3 como input do ADC
ADREF	0bxxx0xx00	Definir V_{REF-} como V_{SS} e V_{REF+} como V_{DD}
ADCLK	0bxx001111	Definir clock do ADC como $FOSC/(2 * (15 + 1)) = FOSC/32$
ADCON0	0b10x0x0x0	Habilitar o ADC

Tabela 6: Configurações do ADC.

Registo	Valor	Configuração
PIR0	0bxx0x0000	Limpar flags de interrupção do TMR0 e do INT0
PIR1	0b00xxxx00	Limpar flag de interrupção do ADC
PIE0	0bxx01x001	Habilitar interrupções do TMR0 e do INT0
PIE1	0b00xxxx01	Habilitar interrupções do ADC
INTCON	0b110xx000	Habilitar interrupções globalmente e interrupções de periféricos

Tabela 7: Configurações das Interrupções.

Registo	Valor	Configuração
SP1BRGL	0b00001011	Bits menos significativos para derivar baud rate do USART1 $\frac{F_{OSC}}{64 \times (SP1BRG+1)} \approx 10417$
SP1BRGH	0b00000000	Bits mais significativos para derivar baud rate do USART1 $\frac{F_{OSC}}{64 \times (SP1BRG+1)} \approx 10417$
TX1STA	0b10100000	Clock interno, transmissão 8 bits, habilitado, assíncrono, baixa velocidade
RC1STA	0b10000000	Habilitar porta serial

Tabela 8: Configurações da Porta Serial.

3 Processamento de Dados

Todas as aplicações desenvolvidas apresentam a mesma base de tratamento dos dados recebidos pela porta série. Inicialmente quando conseguida com sucesso a ligação entre o microcontrolador e o computador, é iniciado um proceso em *background* para a leitura assíncrona com o programa principal dos dados recebidos no buffer da porta série. O programa fica em *standby* até receber o sinal do botão que vem do microcontrolador, este sinal indica ao computador que vai começar o programa para o qual deve calibrar os valores que recebe quando o acelerómetro está em "repouso". Neste momento continua o programa principal e a leitura em background, a qual faz o tratamento e armazenamento dos dados.

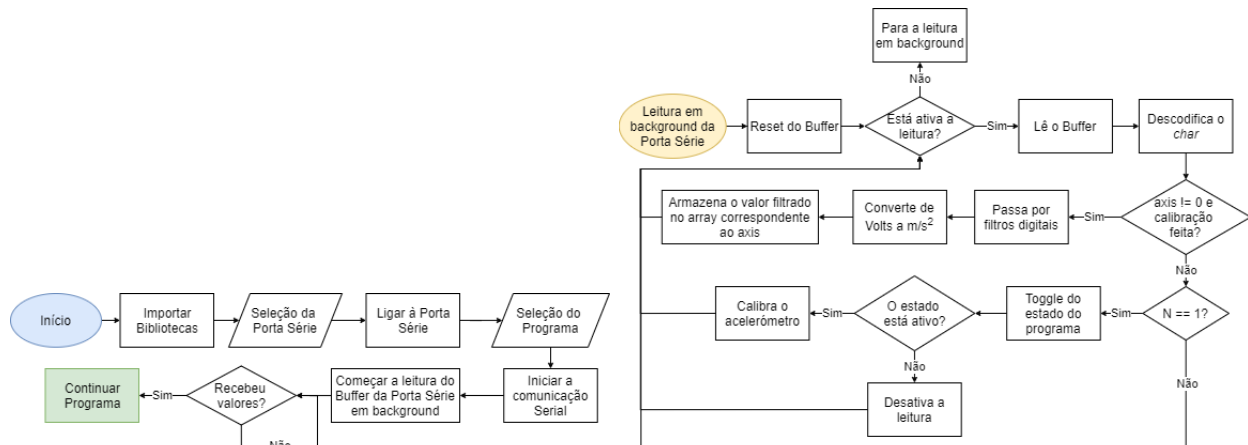


Fig. 7: Fluxograma da inicialização do programa e da leitura de dados em background.

3.1 Processamento Digital do Sinal

Dada a limitação no número de componentes físicos, optou-se por uma filtragem e processamento digital do sinal recebido. Desta forma, a única limitação seria a capacidade de processamento do computador em questão ou a complexidade do filtro aplicado.

O sinal recebido foi processado três vezes antes da sua conversão (figura 8) para valores de aceleração "úteis": filtragem passa baixo, redução do ruído branco em torno do valor médio do sinal e filtragem com média móvel.

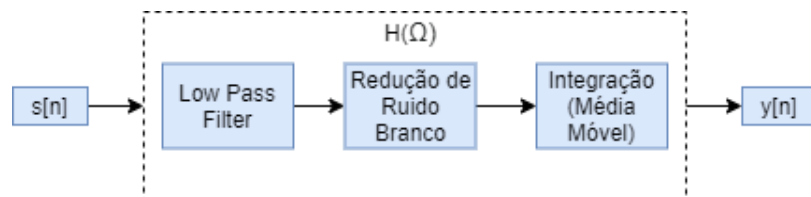


Fig. 8: Diagrama de blocos do sistema de processamento digital do sinal recebido, $s[n]$.

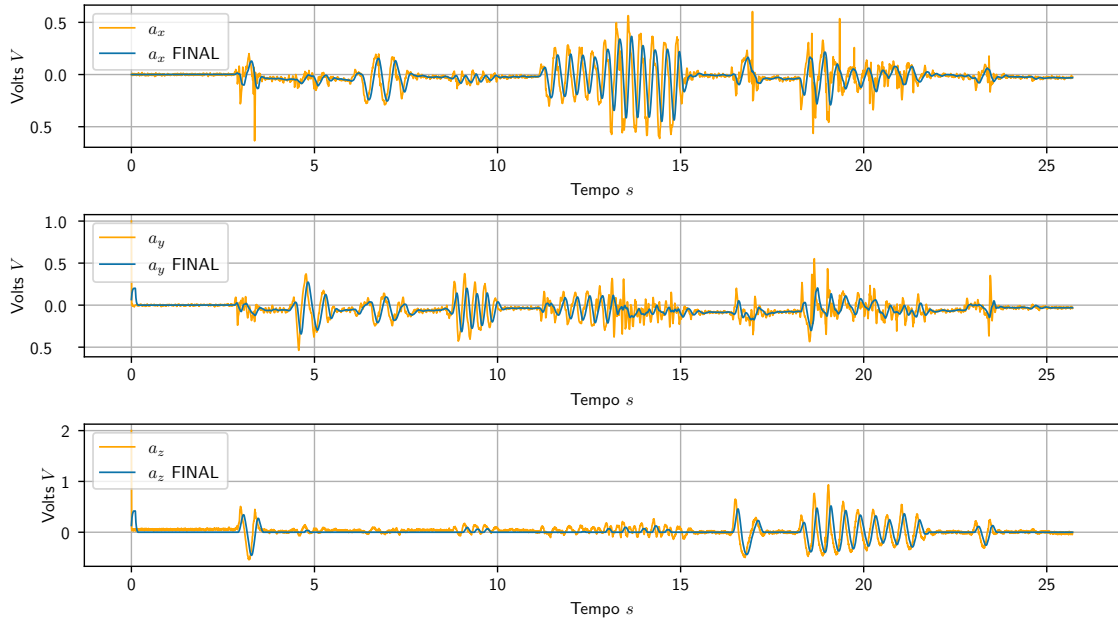


Fig. 9: Tensão (sem componente DC média) em função do tempo do sinal processado (azul) e por processar (laranja) nos três eixos de orientação.

3.1.1 Low Pass Filter

Em qualquer sistema de aquisição é crucial a redução da largura de banda do sinal. Como tal, utilizou-se um filtro digital passa baixo com a equação de diferenças

$$y[n] = \alpha y[n-1] + (1 - \alpha) x[n] \quad (6)$$

onde a frequência de corte é dada por

$$f_c = f_s \frac{1 - \alpha}{2\pi\alpha} \quad (7)$$

e α por

$$\alpha = \frac{f_s}{2\pi f_c + f_s} \quad (8)$$

Fixou-se $f_c = 10Hz$ e aplicou-se o filtro, o que resultou numa diminuição da amplitude do espetro do sinal para frequências mais elevadas (figura 10).

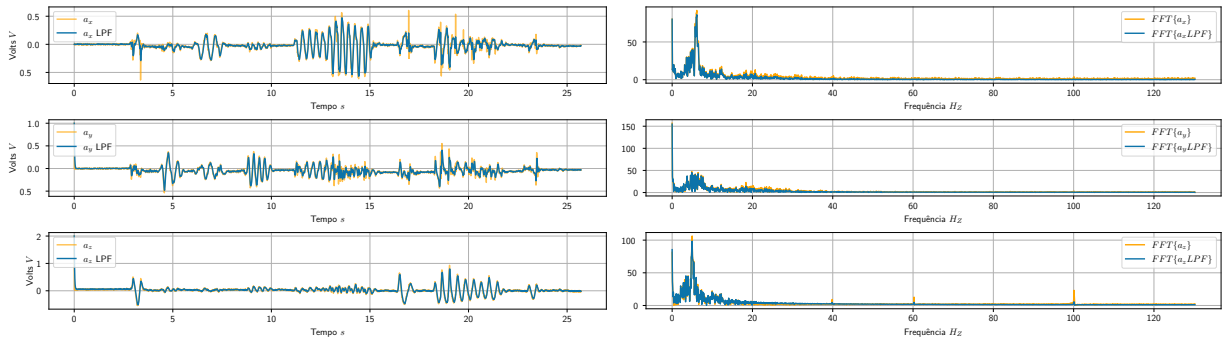


Fig. 10: Tensão (sem componente DC média) em função do tempo do sinal antes e após de ser aplicado o LPF (esquerda) e o seu respetivo espetro (direita).

3.1.2 Redução do Ruído Branco

Mesmo com o acelerómetro parado e nivelado, existem flutuações da tensão do sinal. Para mitigar o efeito destas oscilações, calcula-se para um dado número de valores a média e respetivo desvio padrão, σ . Assim, todos os valores de tensão que estejam dentro de um dado intervalo dependente do desvio serão descartados, correspondendo a uma aceleração de 0 m/s^2 .

$$y[n] = \begin{cases} x[n] & , |x[n]| \geq 1.5\sigma \\ 0 & , \text{otherwise} \end{cases} \quad (9)$$

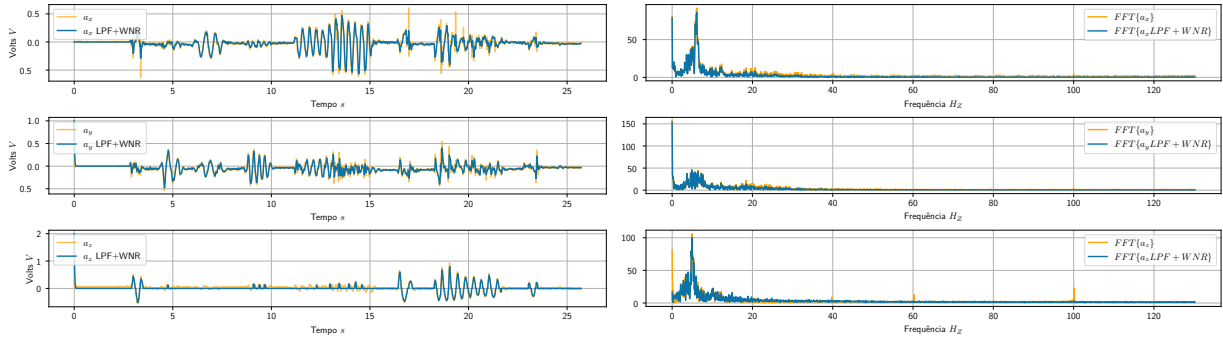


Fig. 11: Tensão (sem componente DC média) em função do tempo do sinal antes e após de ser aplicada a WNR (*White Noise Reduction*) (esquerda) e o seu respetivo espetro (direita).

3.1.3 Integração por Média Móvel

Um dos problemas do sinal proveniente do acelerómetro é que por vezes existem picos de tensão elevada que não descrevem corretamente o movimento efetuado. De forma a suavizar estes eventos, implementou-se um filtro de média móvel tal que a sua equação de diferenças é dada por

$$y[n] = \frac{1}{M} \sum_{j=0}^{M-1} y_1[n-j] \quad (10)$$

o que permitiu uma suavização das tensões e em simultâneo reduziu bastante o ruído de frequências mais elevadas (figura 12).

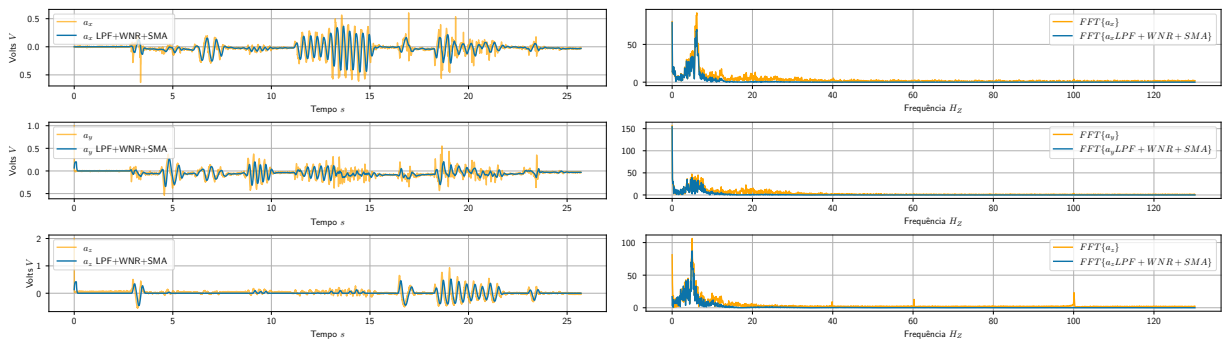


Fig. 12: Tensão (sem componente DC média) em função do tempo do sinal antes e após de ser aplicado o SMA (esquerda) e o seu respetivo espetro (direita).

3.2 Aplicações

3.2.1 Aceleração em *Tempo Real*

Após a calibração ser feita, cria os gráficos vazios, que serão atualizados frame a frame a uma frequência de 20fps lendo os últimos valores da aceleração que foram armazenados em background e atualiza os gráficos mostrados.

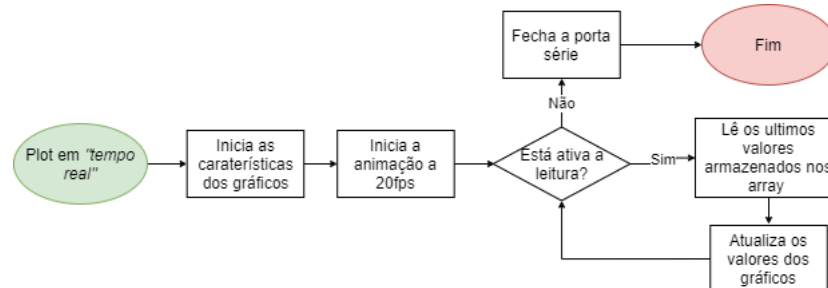


Fig. 13: Fluxograma da aplicação de exibição da aceleração em "tempo real".

3.2.2 Controlo por Orientação

O acelerómetro está por defeito configurado a $1g$ em repouso no eixo dos zz . Fazendo uso disto, pode-se calcular a orientação na qual se encontra o acelerómetro de acordo com o grafico da figura 14.

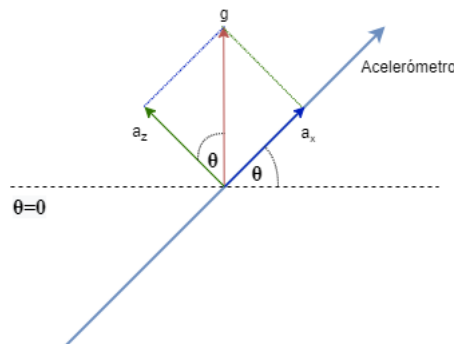


Fig. 14: Esquema de forças que atuam no acelerómetro em função da orientação.

Assim, o ângulo de inclinação é dado por:

$$\theta = \arcsin \frac{a_x}{g} \quad (11)$$

Aplicando esta lógica para o eixo dos yy calcula-se a orientação com respeito ao plano em xx e yy. O eixo dos zz indica em que sentido se encontra virado o acelerómetro, pois este pode encontrar-se virado para baixo e unicamente com os ângulos dos eixos xx e yy não é possível determiná-lo. Desta forma, pode-se ter várias combinações de comandos que podem ser programados e executados pela personagem *BB8* na implementação desenvolvida. Neste caso em concreto, tem-se os seguintes comandos:

Aceleração		
ZZ	XX	YY
>0	Movimenta e orienta a personagem e à câmara proporcionalmente à inclinação	
>1.2g	Projêtil no sentido do movimento e com velocidade proporcional à inclinação	
<-0.7g	Roda a câmara de acordo com a inclinação	

Fig. 15: Condições para o movimento e acionamento de funções da aplicação.

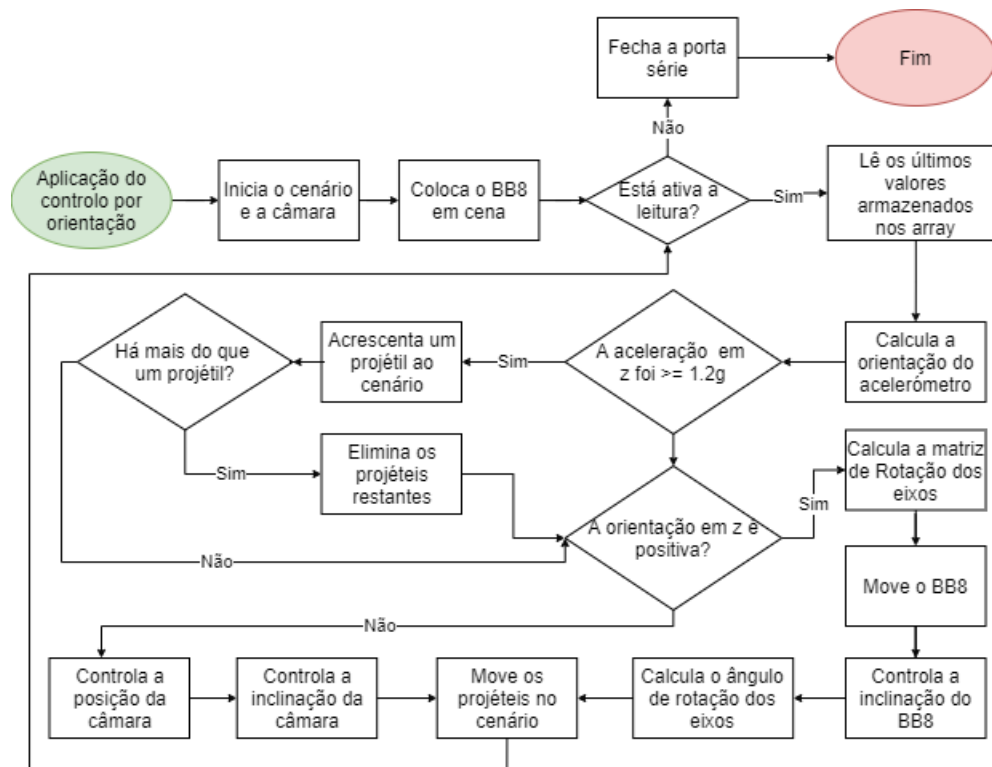


Fig. 16: Fluxograma da aplicação de controlo com base na orientação do acelerómetro.

3.2.3 Tracker de posição

O principal desafio neste ponto do trabalho foi, fazendo somente uso do acelerómetro, aproximar a posição do mesmo com a melhor precisão e exatidão possível, utilizando-se tudo o que já foi anteriormente discutido de forma a melhorar e corrigir os problemas que se foram apresentando para cumprir este objetivo.

Assim, de forma a calcular a posição, ou seja, integrar pelo método de Newton a aceleração com um dt dado pela frequência de amostragem e de representação, chegando a gráficos de velocidade e finalmente da posição. Foram aplicadas várias correções aos valores de aceleração pois estas não eram exatas o suficiente para, por exemplo, detetar travagens totais do movimento, ou mesmo a própria orientação do acelerómetro ao devolver valores constantes de aceleração, pois para o programa implementado isto era considerado como acelerar a uma taxa constante. Assim, para corrigir isto foram usadas parte das funcionalidades anteriormente descritas como o cálculo da orientação do acelerómetro e correção das acelerações obtidas, enquanto para a velocidade, partindo do princípio de que não seria possível ter, para a aplicação em causa, velocidades constantes por um longo período de tempo, esta é corrigida quando acontece isto no software. As equações usadas para o efeito foram as seguintes:

$$v[n] = v[n - 1] + dt a[n] \quad (12)$$

$$x[n] = x[n - 1] + dt v[n] \quad (13)$$

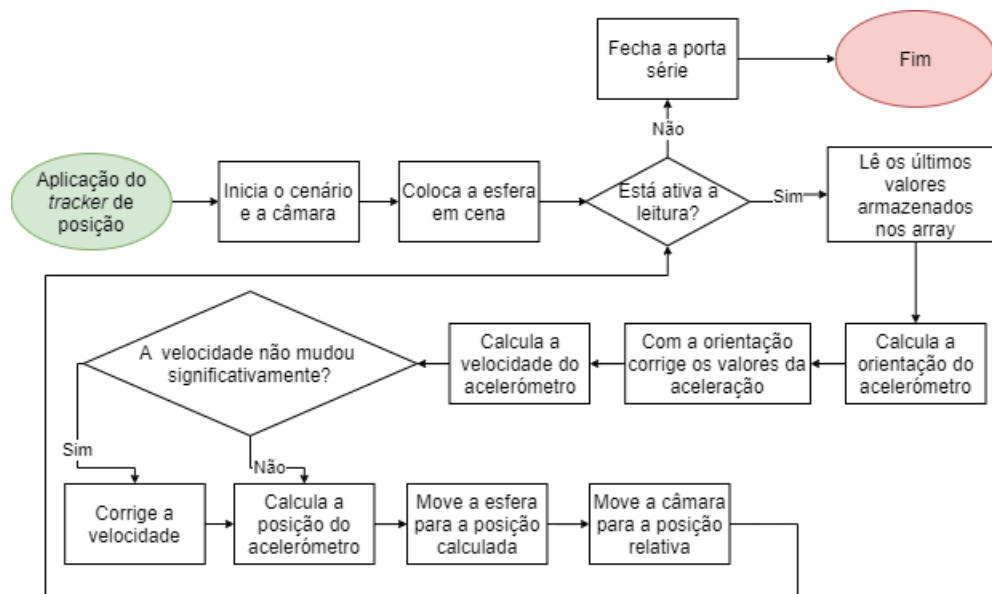


Fig. 17: Fluxograma da aplicação de *tracking* da posição.

4 Conclusão

De forma geral, o objetivo do projeto foi alcançado, tendo-se estabelecido uma comunicação serial eficiente e fiável entre o microcontrolador e o computador, respeitando todas as implicações que o espetro do sinal e o teorema de Nysquist trouxeram de forma a evitar a perda de informação importante.

Do ponto de vista do condicionamento do sinal, dada a falta de material para a criação de filtros analógicos, os filtros digitais aplicados conseguiram substituir eficientemente o comportamento dos primeiros. Estes mostraram-se de elevada importância para a obtenção de um sinal mais "limpo" e correspondente à realidade perceptível, ajudando a obter melhores resultados nas posteriores aplicações.

As diferentes aplicações desenvolvidas mostraram que um acelerómetro, por si só, tem capacidades limitadas. Este mostrou-se suficiente para a representação de acelerações em tempo real, conseguindo-se um gráfico aceleração/tempo que correspondia satisfatoriamente aos movimentos do acelerómetro. Desta forma, poderia ser utilizado em várias áreas onde fosse necessária a monitorização de acelerações sofridas por um dado objeto, por exemplo um carro, e detetar *thresholds* de aceleração para o acionamento de funcionalidades.

Obteve-se também resultados bastante positivos no que toca à monitorização da orientação do sensor, sendo-se capaz de com base na inclinação que o acelerómetro tem e a ação da força da gravidade nos diferentes eixos, executar variadas funções. A obtenção da inclinação de um acelerómetro pode ser útil em vários ramos, desde controlo de objetos (como feito na aplicação neste projeto), até à deteção de inclinações em estruturas, como se de um nível digital se tratasse.

No que toca à capacidade do acelerómetro como sensor para efetuar o *tracking* de objetos, este não é fiável sendo de muito difícil execução a obtenção de uma posição precisa com recurso a esta única ferramenta. O acelerómetro não tem precisão nem exatidão suficiente para uma integração dupla do seu sinal de forma a obter a posição em tempo real.

5 Bibliografia

- [1] "Curiosity High Pin Count (HPC) Development Board User's Guide".
- [2] "Curiosity-High-Pin-Count-Development-Board-User-Guide-40001856C.pdf". [Em linha]. Disponível em:
<https://ww1.microchip.com/downloads/en/DeviceDoc/Curiosity-High-Pin-Count-Development-Board-User-Guide-40001856C.pdf>.
- [3] "Curiosity_HPC_Schematics_rev2.pdf". [Em linha]. Disponível em:
https://ww1.microchip.com/downloads/en/DeviceDoc/Curiosity_HPC_Schematics_rev2.pdf.
- [4] "MMA7361LC.pdf". [Em linha]. Disponível em:
<https://www.nxp.com/docs/en/data-sheet/MMA7361LC.pdf>.
- [5] "PIC18F27-47Q10-Data-Sheet-40002043E.pdf". [Em linha]. Disponível em:
<https://ww1.microchip.com/downloads/en/DeviceDoc/PIC18F27-47Q10-Data-Sheet-40002043E.pdf>.

Anexo A - Formatação do CHAR

CHAR

Bit	7	6	5	4	3	2	1	0
	AXIS[7:6]		MSB[5]	DATA[4:0]				

AXIS[7:6]	
Value	Description
11	CHAR com data do eixo XX
10	CHAR com data do eixo YY
01	CHAR com data do eixo ZZ
00	CHAR de acionamento de botão

MSB[5]		
Value	Condition	Description
1	AXIS \neq 00	CHAR com 5 MSB data
0	AXIS \neq 00	CHAR com 5 LSB data
1	AXIS = 00	Primeiro CHAR de acionamento do botão
0	AXIS = 00	Segundo CHAR de acionamento do botão

DATA[4:0]		
Value	Condition	Description
0 to 1F	AXIS \neq 00	Data bits
0 to 1F	AXIS = 00	Identificação do botão

Anexo B - Código dos Handlers das Interrupções

```

1 TIMER0.INT: ; Handler da Interrupt do TIEMR0
2   BANKSEL PIR0
3   BCF   PIR0 ,5 ; Limpar flag de interrupt do TIMER0
4   BANKSEL ADCON0
5   BSF   ADCON0 ,0 ; Começar nova conversao do ADC
6   BTG   LATA, 6 ; "Piscar" LED.
7   RETFIE

1 ADC_Finish_Interrupt: ; Handler da Interrupt do ADC
2   MOVLW 0b01000000
3   MULWF AXIS ; Shift Left 6 casas
4   MOVWF PRODL, AUX ; Mover AXIS para variavel auxiliar
5   call CHAR_DATA_MSB
6   call CHAR_DATA_LSB
7   BTG   LATA, 7 ; "Piscar" LED.
8   DCFSNZ AXIS ; Decrementar, skip se != 0.
9   call AXIS_RESET ; Voltar a definir AXIS = 0b00000011
10  BANKSEL ADPCH
11  BTFSC 0X00,1
12  BSF   ADPCH,1
13  BTFSC 0X00,0
14  BSF   ADPCH,0
15  BTFSS 0X00,1
16  BCF   ADPCH,1
17  BTFSS 0X00,0
18  BCF   ADPCH,0
19  BANKSEL PIR1
20  BCF   PIR1,0 ; Limpar flag do ADC
21  ; ADC em standby
22  RETFIE

1 BUTTON_0: ; Handler da Interrupt do botao
2   BANKSEL LATA
3   BSF   LATA ,6
4   BTG   TOCON0 ,7 ; Toggle TIMER0 (Ligar/Desligar comunicacao)
5   MOVLW 0X20 ; AXIS: 00, MSB: 1, DATA: 00000 - (Ligar + Calibrar) ou Desligar
6   MOVWF CHAR
7   call SENDCHAR
8   MOVLW 0X01 ; AXIS: 00, MSB: 0, DATA: 00001 - (Ligar + Calibrar) ou Desligar
9   MOVWF CHAR
10  call SENDCHAR
11  BANKSEL LATA
12  BTG   LATA ,5 ; "Piscar" LED
13  BCF   LATA ,6
14  BCF   LATA ,7
15  BANKSEL PIR0
16  BCF   PIR0, 0 ; Limpar INT0 interrupt test bit
17  RETFIE

```

Anexo C - Código das Funções

```

1 SENDCHAR:
2     BANKSEL PIR3
3     BTFSS PIR3, 4 ; Ver se TX Buffer esta disponivel (TXIF)
4     bra SENDCHAR ; Se n o , branch para tentar de novo
5     BANKSEL TXREG
6     MOVFF CHAR, TXREG ; Colocar CHAR no USART TX register para envio
7     BANKSEL LATA
8     return

```

```

1 CHAR_DATA_MSB:
2     BANKSEL ADRES
3     MOVFF ADRESH, CHAR_MSB
4     MOVLW 0b00100000
5     MULWF CHAR_MSB
6     MOVFF PRODH, CHAR_MSB ; 5 MSB em [4:0]
7     BSF CHAR_MSB, 5 ; Set bit "MSB"
8     MOVFF CHAR_MSB, CHAR
9     MOVF AUX, 0 ; Colocar AXIS no WREG
10    ADDWF CHAR, 1 ; Somar os bits de AXIS a CHAR, guardar em CHAR
11    call SENDCHAR ; Enviar CHAR
12    return

```

```

1 CHAR_DATA_LSB:
2     BANKSEL ADRES
3     MOVFF ADRESH, CHAR_MSB
4     BANKSEL ADRES
5     MOVFF ADRESL, CHAR_LSB
6     MOVLW 0b00000100
7     MULWF CHAR_MSB
8     MOVFF PRODL, CHAR_MSB ; Guardar temporariamente 3 LSB de ADRESH em [4:2]
9     MOVLW 0b00000100
10    MULWF CHAR_LSB
11    MOVFF PRODH, CHAR_LSB ; 2 LSB de ADRES em [1:0]
12    MOVF CHAR_MSB, 0 ; Colocar no WREG
13    ADDWF CHAR_LSB, 1 ; CHAR_MSB + CHAR_LSB, guardado em CHAR_LSB - 5 LSB em [4:0]
14    BCF CHAR_LSB, 5 ; Clear bit "MSB"
15    BCF CHAR_LSB, 6 ; Limpar bit 6
16    BCF CHAR_LSB, 7 ; Limpar bit 7
17    MOVFF CHAR_LSB, CHAR
18    MOVF AUX, 0 ; Colocar AXIS no WREG
19    ADDWF CHAR, 1 ; Somar os bits de AXIS a CHAR, guardar em CHAR
20    call SENDCHAR ; Enviar CHAR
21    return

```

```

1 AXIS_RESET:
2     MOVLW 0b00000011
3     MOVWF AXIS
4     return

```